

(149) 高 Cr ステンレス鋼の鋳造組織  
の機械的性質 62329

八幡製鉄光製鉄所 工博 太宰三郎  
技術研究室 1481～1482  
岡本一生・○江口直記

## On the Mechanical Properties of as-Cast Structures of High-Chrominum Stainless Steels.

Dr. Saburo DAZAI, Kazuo OKAMOTO  
and Naoki EGUCHI.

## I. 緒 言

Cr系ステンレス鋼の鋳造組織は鋳肌から中央に向つて粗大な柱状晶が発達し、中心では自由晶になることが多い。このような粗大マクロ組織の場合樹枝状晶の粒界、樹間には偏析が多くまたミクロ偏析も生じ易く、組織の破壊、均質化の進んだ熱間加工材に較べれば熱間の変形能はかなり劣っている<sup>1,2)</sup>。鋳造組織のミクロ組織はフェライト相のmatrixにオーステナイト分解相が混在し2相組織を呈するが、オーステナイト系ステンレス鋼の $\gamma + \alpha$  2相組織に比し再結晶速度が早いため加工硬化は少ない。したがつてCr系ステンレス鋼の熱間加工性に影響する因子としてマクロ組織の大きさが考えられ本報告はこれについて実験した。

## II. 実験試料および実験方法

実験に用いた鋼は鋳造のままの17Crおよび30Cr鋼で化学成分をTable 1に示す。

17Cr鋼は外層および内層からUノッチ(2mm深さ)シャルピー試験片を鋳肌に平行に切出しマツフル炉で850～1200°Cの間の各温度で10min加熱し取出して熱間衝撃試験を行つた。30Cr鋼は外層から同様に試片を作り試験した。なお17Cr鋼は加工比約3および2.3で圧延および鍛造を行い表面疵の状況を観察しさらに加工材の内、外層から4号引張試験片を作り常温で試験し鋳造組織の影響が残るかどうかを調べた。

## III. 実験結果

Fig. 1は17Cr鋼の外層部試片の試験結果を示し、比較的柱状晶の細かいA鋼は粗い柱状晶のB、C鋼に比し衝撃値は大である。Fig. 2は17Cr鋼の内、外層の衝撃値の比較を示しA鋼では内、外層の差は余りないが、B鋼では外層は内層に比しかなり低い値を示す。この結果柱状晶が比較的細かい場合には自由晶と大差ないが、比較的粗い柱状晶は自由晶に比し熱間衝撃値は小さ

いことが判つた。次に柱状晶に対し直角および平行に試験した結果平行の場合が大である。試験片の破断面の状況をみると950～1200°Cではノッチ下の割れではなく、900°C以下では割れが認められる。変形速度がおそい場合の例として熱間折曲げ試片を作り、柱状晶の方向に800°C～1200°Cの間の各温度で静的曲げを行つたが亀裂の発生はなくまたA、B、C鋼間で曲げ荷重に差はなかつた。

Fig. 3は30Cr鋼の結果を示し1150°C以上および950°C以下で衝撃値は低くまたこの温度では破断面に著しい割れを生ずる。また衝撲値の比較的高い1000～1100°C間でも破断面に小割れがあり変形能が悪いことを示す。

Fig. 4は約2.3に鍛造したものをして750°C焼処理内、外層から試料を切出し試験した結果で引張強さ、降伏点は3鋼種に著しい差はないが伸び、絞りは一般に内層が低く試料B、Cでこの傾向が強い。加工法を変えた圧延材で同様な試験を行つた結果も同様な傾向を示す。

## IV. 考 察

Table 1. Chemical analysis of samples. (%)

Marks	C	Si	Mn	P	S	Cr	Ni	Cast structures
A	0.04	0.41	0.55	0.020	0.016	17.86	0.27	O: Fine columnar st. I: Equiaxed st.
B	0.06	0.50	0.48	0.019	0.019	16.93	0.44	O: Coarse columnar st. I: Equiaxed st.
C	0.07	0.21	0.49	0.021	0.012	16.96	0.31	O: Coarse columnar st. I: Ditto.
D	0.08	0.39	1.57	0.024	0.011	28.55	0.23	O: Coarse columnar st. I: Equiaxed st.

O: Outer zone, I: Inner zone.

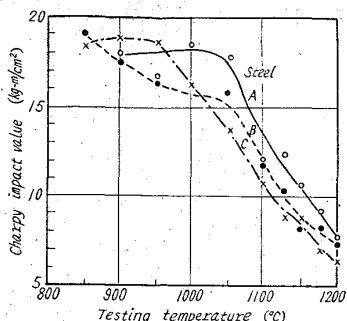


Fig. 1. Charpy impact value curves of as-cast specimens measured at various temperatures. (17% Cr stainless steel)

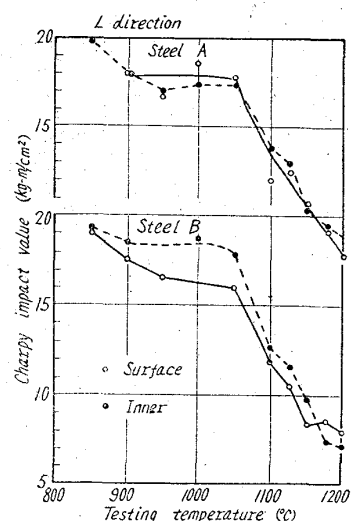
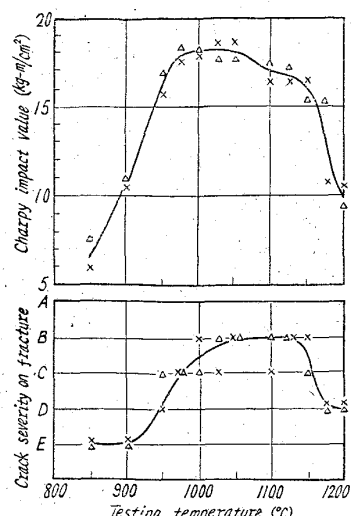


Fig. 2. Comparison of Charpy impact value curves measured at various temperatures for as-cast specimens with different macrostructures.

(17% Cr stainless steel)

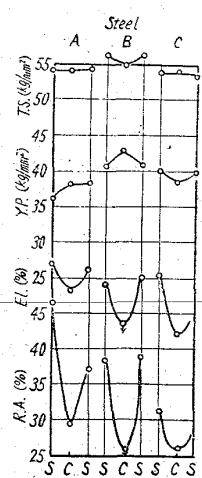
669,14,018,8,669,15/24/26-194,2620,174,4



Crack severity on fracture  
A: none B: slight C: moderate  
D: large E: broken

Fig. 3. Charpy impact value and fracture feature curves of as-cast specimens measured at various temperatures.

(30% Cr stainless steel)



S : surface C : center  
Fig. 4. Tensile properties of forged specimens.  
(17% Cr stainless steel)

クロ組織の影響があることは一考を要する。

## V. 結 言

17 Cr および 30 Cr 鋼鋳造材のマクロ組織と機械的性質の関係を実験し、柱状晶が細かい場合には自由晶との差は余りないが、柱状晶が大きいと自由晶より熱間衝撃値は低く、また熱間加工比の小さい加工材では機械的性質に差があることが判つた。

## 文 献

- 1) 加藤, 他: 製鉄研究 No. 231 (1960), p.3025.

熱間加工材についての高温加工性試験は多く報告されているが鋳造のままでの試験例は余りない。加藤<sup>1)</sup>は 250 kg ないし 6 t 鋼塊の 17 Cr ステンレス鋼で柱状晶域と自由晶域で熱間捻回試験し両者の加工性に大差ないことを見出している。本試験は測定方法が異なるが柱状晶の大きさにより、また自由晶と柱状晶とでは衝撃値が異り、柱状晶は細かい方が、また自由晶の方が値が大である。この理由は明瞭でないがマクロ組織の大きさが結晶粒の大きさと一次的関係があり変形抗力を増すものと思われる。

ノッチ下の破断面で変形能を比較する場合 17 Cr 鋼はオーステナイト系ステンレス鋼たとえば 18-8 鋼に比し変形能は優り、30 Cr 鋼は変形能が悪く特に加工温度の下限に注意を要する。

17 Cr 熱間加工材の常温機械的性質は加工比が小さく内外一様な変形をうけてないがマ

## (150) Cr-Ni ステンレス鋼の組織におけるぼす加熱、熱間加工の影響

八幡製鉄光製鉄所 工博 太宰三郎  
技術研究室

岡本一生・○江口直記  
Effects of Heat Treatment and Hot Working on the Microstructure of Cr-Ni Stainless Steels.

Dr. Saburo DAZAI, Kazuo OKAMOTO  
and Naoki EGUCHI.

### I. 緒 言

ステンレス鋼は凝固に際し柱状晶が発達しやすい。18-8 ステンレス鋼では  $\delta$ -Fe が初晶として晶出するが柱状晶の発達にともない結晶偏析を生じやすくこのため組成以上に  $\delta$ -Fe があらわれ 2 相組織となる。このような組織は高温変形能が悪いため  $\delta$ -Fe の出現を極力少くするよう努力されており、成分の影響については Schaeffler の状態図などが示されている。生じた  $\delta$ -Fe の形態などは 1, 2 報告されてはいるがその後の熱履歴、後続加工などの影響について系統的な研究はみないようである。そこで本報告は実用 18-8 ステンレス鋼の鋳造時の組織を観察し柱状晶の大きさと  $\delta$ -Fe 組織、あるいはその量が加熱ならびに熱間加工によりどのように変化するかに注意をはらい実験した結果を述べる。

### II. 実験試料ならびに実験方法

実験に用いた試料は SUS 27 規格成分のもので、チル晶あるいは柱状晶の比較的こまかい鋳肌の部分、比較的柱状が大きく発達した内質からそれぞれ試片を採取し、鋳造のままで組織を観察し点算法で  $\delta$ -Fe 量を測定した後マツフル炉を用い 950, 1000, 1100, 1200°C でそれぞれ 4~20 h 加熱し水冷してから組織の変化と  $\delta$ -Fe 量を測定した。また一部の試料はそのような加熱を行なつた後 1260°C に昇熱し圧下比約 6 に鍛造し同様な測定を行なつた。なお各試料とも透磁率測定を行なつた。

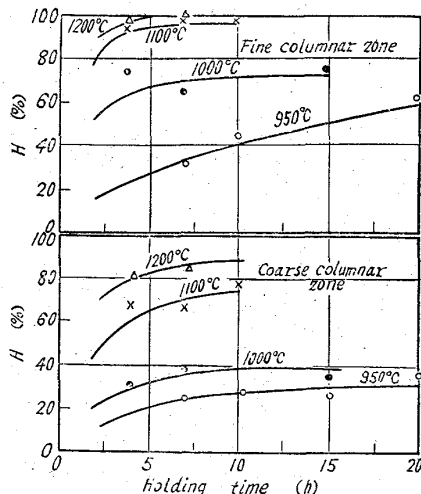


Fig. 1. Effects of holding time on the  $H$ .  
 $H = \{(\delta\text{-Fe}\% \text{ observed as cast}) - (\delta\text{-Fe}\% \text{ observed after soaking})\} / (\delta\text{-Fe}\% \text{ observed as cast})$ .